



Procesador de números complejos enteros de alta velocidad implementada en un FPGA

High-speed integer complex number processor based on FPGA

Sosa-Savedra Julio César

Instituto Politécnico Nacional
Centro de Investigación en Ciencia Aplicada y Tecnología Avanzada
(CICATA-QRO)
Departamento de Investigación e Innovación Científica y Tecnológica
Correo: jcsosa@ipn.mx

García-Ortega Víctor Hugo

Instituto Politécnico Nacional
Escuela Superior de Cómputo
Correo: vgarciao@ipn.mx

Salinas-Hernández Encarnación

Instituto Politécnico Nacional
Escuela Superior de Cómputo
Correo: esalinas@ipn.mx

Ortega-González Rubén

Instituto Politécnico Nacional
Escuela Superior de Cómputo
Correo: rortegag@ipn.mx

Hernández-Tovar Rubén

Instituto Politécnico Nacional
Unidad Profesional Interdisciplinaria en Ingeniería y Tecnologías
Avanzadas
Correo: rhtovar@ipn.mx

Resumen

El cálculo aritmético de números complejos es una parte clave en muchos de los sistemas modernos de comunicación digitales y ópticos. La multiplicación de números complejos juega un rol muy importante en las aplicaciones digitales. Con el uso de nuevas tecnologías, como el caso de un FPGA, es posible integrar un procesador, módulos de memorias, periféricos de entrada/salida y aceleradores *hardware* a la medida dentro de un mismo circuito integrado, esta clase de sistemas se llaman *Sistemas en un Chip Programables* (SoPC). En este trabajo se presenta el diseño de una arquitectura *soft-core* para el procesamiento de números complejos de 16 bits. La arquitectura es RISC, tipo Harvard y posee: pila *hardware* de 8 niveles, memoria de programa de $64K \times 29$ bits, dos bancos de registros independientes y una memoria de datos, segmentada en 2 partes para almacenar la parte real e imaginaria, además de una unidad DSP. También se presentan los resultados de la implementación, la cual se realizó empleando el lenguaje de descripción de *hardware* VHDL y un FPGA de Xilinx. La implementación se compara con otras arquitecturas. El multiplicador propuesto, para el procesamiento de señales aritméticas enteras complejas, tiene un mejor rendimiento.

Descriptores: FPGA, DSP, arquitectura, números complejos, alta velocidad, diseño digital, aritmética.

Abstract

Arithmetic calculation of complex numbers is a key part of many modern digital and optical communication systems. The multiplication of complex numbers plays a very important role in digital applications. With the use of new technologies, such as an FPGA's, it is possible to integrate a processor, memory modules, input/output peripherals, and custom hardware accelerators into the same integrated circuit, called Systems on Programmable Chip (SoPC). This paper presents the design of a soft-core architecture used for the processing of 16-bit complex numbers. The architecture is RISC, Harvard type and has: 8-level hardware stack, $64K \times 29$ -bit program memory, two independent bank of registers and a data memory, segmented into 2 parts to store the real and imaginary part, besides A DSP unit. We also present the results of the implementation, which was done using the VHDL hardware description language and a Xilinx FPGA. The implementation is compared with other architectures. The proposed multiplier, for the processing of integer complex arithmetic signals, has a better performance.

Keywords: FPGA, DSP, architecture, complex number, high-speed, digital design, arithmetic.

INTRODUCCIÓN

El cálculo aritmético de números complejos es un punto clave en los sistemas modernos de comunicación digital, de radares y ópticos (Wang y Tull, 2004). Muchos algoritmos basados en convolución, correlación y filtros complejos requieren la multiplicación de números complejos. El procesado de la información se hace mediante circuitos digitales como: los microprocesadores, computadoras personales y procesadores digitales de señales (DSP's).

Un DSP es un circuito integrado que contiene un procesador digital y un conjunto de recursos complementarios capaces de manejar digitalmente las señales analógicas del mundo real. Estos dispositivos surgieron a principios de la década de los 80's y se comercializaban varios modelos desarrollados por *Texas Instrument*, *NEC* e *Intel*. En la actualidad *Texas Instrument* mantiene el liderazgo del mercado de DSP's (Angulo, 2006).

En sí, un DSP puede considerarse como un controlador clásico, pero incorporando recursos especiales para el control óptimo de los requerimientos específicos y los algoritmos manejados en el procesamiento digital de señales analógicas.

Con la introducción de los FPGA's (*Field Programmable Gate Array*), es posible diseñar e implementar sistemas en un chip programable (SoPC de *System on a Programmable Chip*). Estos dispositivos permiten integrar un procesador, módulos de memorias, periféricos de entrada/salida, y aceleradores *hardware* a la medida, dentro de un mismo circuito integrado. Además de eso, cuentan con grandes capacidades, poseen una alta eficiencia *hardware* y la facilidad de realizar una implementación por *software*, facilitando así la implementación de nuevas propuestas de arquitecturas de DSP's (Tessier y Bursleson, 2001). Entre las mejoras que se han apreciado con el uso de estas nuevas tecnologías, es que apoyan la optimización de energía, reducción de costos y rendimiento, respecto al tiempo de ejecución.

En los últimos años ha existido un incremento en el diseño y desarrollo de núcleos o *cores*, los cuales son para distintas aplicaciones. Entre dichos *cores* están los de procesadores de propósito general y los de propósito específico. En Hernández *et al.* (2015) y García *et al.* (2010) se presentan *cores* de preprocesadores de propósito general, con una arquitectura *RISC*. En Sosa *et al.* (2009), se presenta un *core* que implementa el algoritmo de *Levinson-Durbin*, empleado en el protocolo de comunicación TCP/IP, para la transmisión de voz. Finalmente en Sosa *et al.* (2012), se presenta un *core* para el cálculo del flujo óptico, donde se detecta el movimiento aparente de los objetos.

En este trabajo se presenta el diseño de una arquitectura *soft-core* para el procesamiento de números complejos de 16 bits. La arquitectura es *RISC*, tipo Harvard y posee, entre otras cosas: una pila *hardware* de 8 niveles, una memoria de programa de 64K × 29 bits, dos bancos de registros independientes y una memoria de datos, segmentada en 2 partes para almacenar la parte real e imaginaria, además de una unidad DSP.

DESARROLLO

La metodología de diseño empleada en el desarrollo de este trabajo fue la metodología en V (Perez, 2006) para sistemas embebidos, como se muestra en la Figura 1.

En el diseño se emplearon las herramientas CAD-EDA (de diseño asistido por computadora para la automatización del diseño electrónico): ISE™ *WebPACK* 10.1™ de *Xilinx*, la tarjeta *Spartan-3A™* (que tiene la FPGA XC3S700A), el lenguaje de descripción de *hardware* VHDL y una computadora personal, con sistema operativo Windows®.

DISEÑO

Siguiendo la metodología en V, se determinaron las especificaciones *hardware* y *software* de la arquitectura. Se estudiaron arquitecturas de microcontroladores y DSPs, de marcas comerciales, donde se encontraron dos diferencias importantes: la estructura de memoria que poseen y las unidades de ejecución. En la primera, en un microcontrolador es posible encontrar una memoria lineal, en la que se almacenan tanto datos como instrucciones de programa. Esto obliga a generar programas que no sobrepasen límites de tamaño, ya que podrían sobrescribirse datos por instrucciones o viceversa. En cambio, un DSP posee dos bloques separados e independientes de memoria, cada uno con su propio

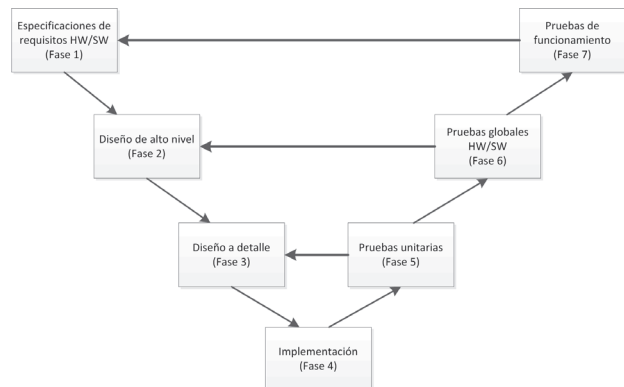


Figura 1. Metodología en V, para diseño de sistemas embebidos en FPGAs

bus de acceso. Esta estrategia permite al procesador ir a buscar la siguiente instrucción y dato en el mismo ciclo de reloj (*Fetch*).

La segunda diferencia existente, incluso entre diferentes DSP's, es la cantidad de unidades de ejecución que poseen, lo que permite ejecutar operaciones en paralelo. Por ejemplo: algunas arquitecturas, además de la *Unidad Lógica Aritmética (ALU)*, también cuentan con *Bloques de Multiplicación y Acumulación (MAC)* y se encuentran también bloques solo para corrimientos (*shifters*). Otro claro ejemplo, se puede ver en la arquitectura del DSP TMS320F241, de *Texas Instrument®*. Este dispositivo cuenta con una arquitectura con 3 unidades de cálculo: una que realiza las operaciones lógicas y aritméticas (CALU), otra que realiza cálculos sobre registros auxiliares para direccionamientos indirectos tanto a memoria de datos como de programa (ARAU) y la tercera que realiza la multiplicación y corrimientos.

De esta manera y en función de las arquitecturas estudiadas, se propone el diseño de una arquitectura que cuente con las siguientes características:

- Arquitectura de un conjunto de instrucciones reducido (*RISC*), con formato de instrucciones fijo, de 25 bits
- 2 archivos de 16 registros de 16 bits c/u
- Arquitectura Harvard: mem. de programa 64K × 25 bits y mem. de datos 128K × 16 bits
- Manejo de operaciones de números complejos
- Tipo de direccionamiento especiales

FORMATO DE INSTRUCCIONES

El conjunto de instrucciones tiene un formato de 25 bits, y pueden realizar operaciones con tres operandos. Existen tres tipos de instrucciones: tipo Registro (R), tipo Inmediato (I) y tipo Salto (J).

El formato tipo R, tiene todas las instrucciones cuyos operandos son registros. Los 25 bits de la instrucción se distribuyen en los campos, como se muestra en la Tabla 1.

Tabla 1. Formato de instrucción tipo registro

Formato de instrucción tipo R (Registro) 1					
24.....20	19.....16	15.....12	11.....8	7.....5	4.....0
OPCODE	Rd	Rt	Rs	S/U	FUNCT
5 bits	4 bits	4 bits	4 bits	3 bits	5 bits
Formato de instrucción tipo R (Registro) 2					
24.....20	19.....16	15.....12	11.....8	7.....5	4.....0
OPCODE	Rd	Rt	SHAMT	SELAC/CHAD	FUNCT
5 bits	4 bits	4 bits	4 bits	3 bits	5 bits

En donde:

- OPCODE = Código de operación
- Rd = Registro operando destino
- Rt = Primer registro operando fuente
- Rs = Segundo registro operando fuente
- FUNCT = Código de función, aquí se selecciona una variante de la instrucción indicada en el opcode
- SELAC/CHAD = Selecciona el acumulador deseado de la unidad DSP o el tipo de modificación a la dirección contenida en el registro que indica Rt (incremento, decremento, reversión de bits)
- SHAMT = Cantidad de bits a desplazar en las instrucciones de corrimiento
- S/U = sin uso

El formato tipo I, tiene todas las instrucciones donde uno o dos de los operandos es un número de 16 ó 12 bits que dependiendo de la instrucción representa una constante o dirección. Los 25 bits de la instrucción se distribuyen en los campos, como se muestra en la Tabla 2.

En donde:

Constante o Dirección = un dato de 12 ó 16 bits que representa un número inmediato.

El formato tipo J, tiene todas las instrucciones donde uno o dos de los operandos es un número de 16 ó 12 bits que dependiendo de la instrucción representa una constante o dirección. Los 25 bits de la instrucción se distribuyen en los campos, como se muestra en la Tabla 3.

CONJUNTO DE INSTRUCCIONES

La arquitectura cuenta con un conjunto de 50 instrucciones, las cuales se pueden dividir en 8 grupos: instrucciones de carga y almacenamiento, instrucciones DSP de números complejos, instrucciones de procesamiento de números reales, instrucciones lógicas, instrucciones para el manejo del acumulador de DSP, instrucciones de saltos condicionales e incondicionales, instrucciones de corrimiento e instrucciones de manejo de subrutinas.

Tabla 2. Formato de instrucción tipo inmediato

Formato de instrucción tipo I (Inmediato) 1			
24.....20	19.....16	15.....12	11.....0
OPCODE	Rd	Rt	Constante o dirección
5 bits	4 bits	4 bits	12 bits
Formato de instrucción tipo I (Inmediato) 2			
24.....20	19.....16	15.....0	
OPCODE	Rd	Constante	
5 bits	4 bits	16 bits	

Tabla 3. Formato de instrucción tipo salto (*Jump*)

Formato de instrucción tipo J (<i>Jump</i>)		
24.....20	19.....16	15.....0
OPCODE	S/U	Dirección
5 bits	8 bits	16 bits

Aquí, en la Tabla 4, solo se presentan las instrucciones de DSP de números complejos. Es importante resaltar que se omitió a propósito presentar el resto de las instrucciones, por razones de espacio en el documento. En este caso se presentan las instrucciones: suma entre dos números complejos (ADD.c), resta de dos números complejos (SUB.c), suma acumulada de dos números complejos (ACC.c), resta acumulada entre dos números complejos (SUC.c), multiplicación acumulada entre dos números complejos (MAC.c) y multiplicación de dos números complejos (MUL.c).

DISEÑO DE LA ARQUITECTURA

La arquitectura se constituye básicamente por 8 bloques y un bus de interconexión, como el que se muestra en la Figura 2. Todos ellos se diseñaron en el lenguaje de descripción de *hardware* VHDL y empleando el IDE de *Xilinx*.

El primer bloque, de izquierda a derecha, es una PILA en *hardware* de 8 niveles. Con ella se ejecutan las instrucciones de saltos o llamadas a subrutinas mediante el uso de 8 registros *Contadores de Programa* (PC). En el mismo bloque incluye una *Instrucción de Incremento* (INC), para determinar si el contador de programa debe esperar otro ciclo.

El segundo bloque es la memoria de programa. En ella se almacenarán las instrucciones a ejecutarse. Es de 64kB × 25 bits, por lo que puede almacenar hasta 64 k instrucciones. La instrucción que sale de esta memoria se distribuye hacia la unidad de control, el archivo de registros, la unidad DSP y a las 2 memorias de datos.

El tercer bloque es la unidad de control. Esta unidad es la que indica cuál es la siguiente instrucción a ejecutarse, de dónde se tomarán los datos y en dónde se almacenará el resultado. Como puede observarse en la Figura 3, la unidad de control consta de un decodificador de instrucción y un decodificador de función, para las instrucciones que contienen ese campo y junto con las banderas (*Flags*) y los bits *SELAC/CHAD* toma la decisión de las señales de control que habrá de habilitar. Esta unidad tiene 29 bits de entrada y 48 señales de control. Estas señales de control se pueden clasificar en 10 clases, como se indica en la Tabla 5.

El cuarto y quinto bloque son los archivos de registro. Son dos, debido a que en uno de ellos se almacena la parte real y en el otro la parte imaginaria, con ello se plantea facilitar y maximizar la velocidad en el procesamiento de datos. Cada uno de estos archivos se constituye por 16 registros, de 16 bits cada uno, y en ellos se pueden almacenar los resultados de las operaciones que así lo requieran. Otra función de los registros de trabajo es contener direcciones de los operandos, es decir, tienen la función de apuntar al inicio del bloque en memoria de datos sobre el cual se vayan a efectuar operaciones en forma iterativa usando direccionamiento indirecto.

Entonces, el archivo de registros real se usa para realizar operaciones ordinarias entre reales, ya sean aritméticas o lógicas, pero para nuestros propósitos de manipular números complejos, y crear un tipo de dato complejo dentro de la arquitectura, decidimos duplicar el archivo de registros y separarlos en un archivo de registros para la parte real de un número complejo, y otro que almacene la parte imaginaria de dicho número.

Tabla 4. Instrucciones de números complejos

Inst.	Ejemplo	Significado	Código de operación							Tipo
			24-20	19-16	15-12	11-8	7-5	4-0		
ADD.c	ADD.c Rd, Rt, Rs	$RdR = RtR + RsR$ $RdI = RtI + RsI$	00	Rd	Rt	Rs	S/U S/U	6	R	
SUB.c	SUB.c Rd, Rt, Rs	$RdR = RtR - RsR$ $RdI = RtI - RsI$	00	Rd	Rt	Rs	S/U	7	R	
ACC.c	ACC.c Rt	$ACCR = RtR + ACCR$ $ACCI = RtI + ACCI$	00	S/U	S/U	Rs	S/U	8	R	
SUC.c	SUC.c Rt	$ACCR = RtR - ACCR$ $ACCI = RtI - ACCI$	00	S/U	S/U	Rs	S/U	9	R	
MAC.c	MAC.c Rs, Rt	$ACCR = RtR * RsR -$ $RtI * RsI + ACCR$ $ACCI = RtR * RsI +$ $RtI * RsR + ACCI$	00	S/U	Rt	Rs	S/U	10	R	
MUL.c	MUL.c Rt, Rs	$R1R:R0R = RtR * RsR$ $- RtI * RsI$ $R1I:R0I = RtR * RsI$ $+ RtI * RsR$	00	S/U	Rt	Rs	S/U	11	R	

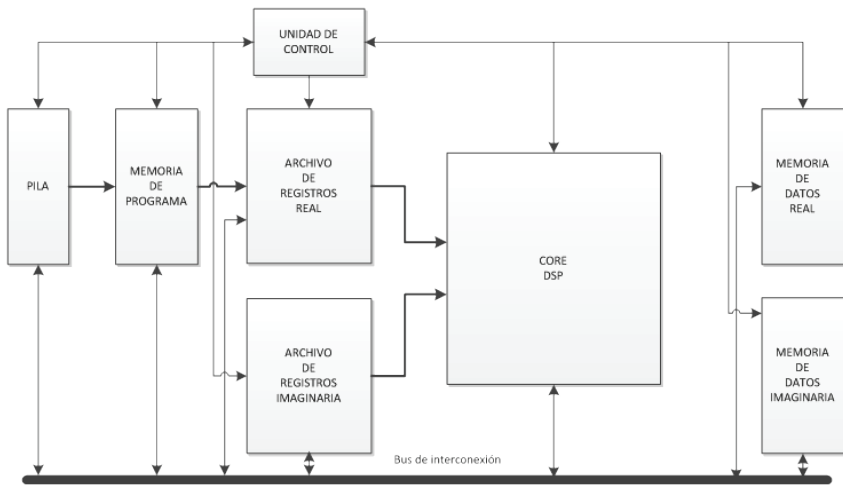


Figura 2. Diagrama a bloques de la arquitectura

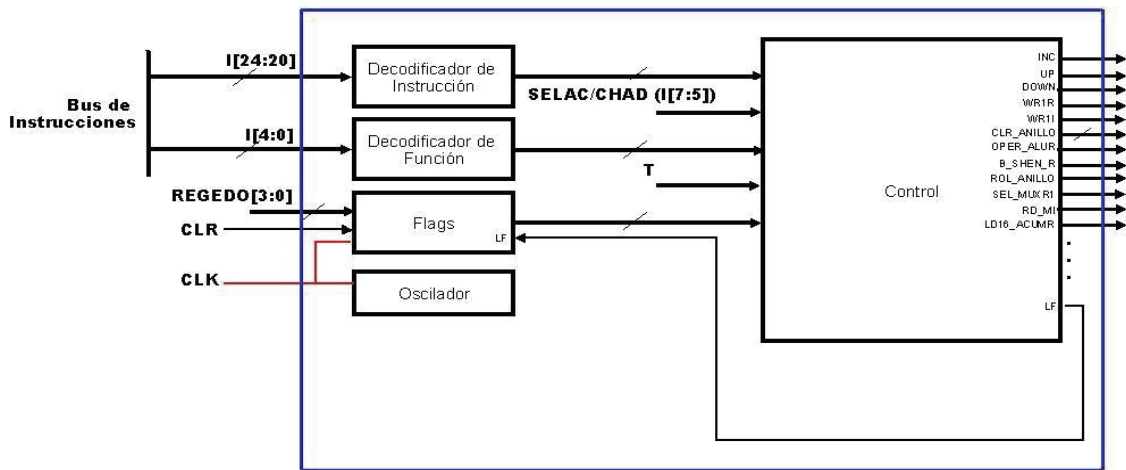


Figura 3. Diagrama a bloques de la arquitectura

Tabla 5. Señales de control de salida

<i>UP, DW, WPC, INC</i>	Señales de control del Bloque de Pila
<i>SRR, SWDR, SRI, SOPR2, SDIM, SAMR, SDOMR, SDOMI</i>	Señales de selección de multiplexores de la Arquitectura
<i>WR1R, WR2R, WR1I, WR2I</i>	Señales de control de escritura en los Archivos de Registros
<i>CLR_ANILLO, CLR_ACUMR, CLR_ACUMI</i>	Señales CLR's asíncronas de registros por instrucción
<i>OPER_ALU1, OPER_ALUR, OPER_ALUI</i>	Señales de control de Operación de ALU's en el <i>core</i> DSP
<i>SEL_DMUX1, SEL_MX1, SEL_MX2, SEL_DMUXR, SEL_DMUXI, SEL_MUXR_S, SEL_MUXI_S, SEL_MXR1, SEL_MXR2, SEL_MXI1, SEL_MXI2</i>	Señales de selección de multiplexores y demultiplexores dentro del <i>core</i> DSP
<i>LD_REG1, LD_REG2, LD32_ACUMR, LD32_ACUMI, LD16_ACUMR, LD16_ACUMI</i>	Señales de carga de registros internos y acumuladores del <i>core</i> DSP
<i>B_SHEN_R, B_SHEN_I, B_SHDIR_R, B_SHDIR_I</i>	Señales de control del <i>Barrel Shifter</i>
<i>WD_MR, RD_MR, WD_MI, RD_MI</i>	Señales de lectura y escritura en memorias de Datos
<i>LF</i>	Señal de carga de banderas para el Registro de Estado

El sexto bloque es la etapa principal y la parte más compleja de este trabajo. En este bloque se procesan los números complejos. Por ello se denomina Unidad DSP o *Core-DSP*. Esta unidad se conforma por la *Unidad Lógica Aritmética (ALU)*, por multiplicadores, registros intermedios, para la segmentación de las etapas de ejecución, extensores de signo de 16 a 32 bits, circuitos sumadores/restadores, acumuladores de 32 bits, registros de desplazamiento, entre otros componentes menores, como se puede apreciar en la Figura 4.

Para el diseño de la *ALU*, se parte de las operaciones lógicas y aritméticas que se pretenden ejecutar, excluyendo la multiplicación, puesto que esa operación se ejecutará de manera dedicada. De esta manera, tenemos que las operaciones aritméticas son: suma (real y compleja), resta (real y compleja) y las operaciones lógicas: *AND, NAND, OR, NOR* y *NOT*. El diseño de la *ALU* para un bit, se muestra en la Figura 5. La entrada *OPER* selecciona el tipo de operación a realizar, de esta manera si *OPER = 00* ejecuta la operación lógica (*A AND B*), en cambio, si *OPER = 10*, entonces realizará la operación de suma o resta, según el valor de *CARRY*. Si *CARRY = 0* indica que es una suma y si *CARRY = 1*, entonces la entrada *B* se complementa y al circuito sumador se le suma un uno, por el acarreo de entrada.

La implantación del sumador se realizó mediante el algoritmo de acarreo anticipado, de esta manera el tiempo de ejecución de la operación se minimiza a un tiempo constante. En cambio, una implementación de acarreo en cascada el tiempo de ejecución dependerá del tamaño de los operandos a sumar. La ecuación de

suma y acarreo de salida, para una suma con acarreo anticipado, está dada por la ecuación 1.

$$S_i = P_i \oplus C_i \quad C_{i+1} = G_i + P_i C_i \quad (1)$$

donde

$$P_i = A_i \oplus B_i \text{ y } G_i = A_i B_i$$

G_i se denomina como generador de acarreo y produce un acarreo de salida cuando tanto *A_i* como *B_i* son uno, haciendo caso omiso del acarreo de entrada. *P_i* se denomina propagador de acarreo, puesto que él es el término asociado con la propagación del acarreo de *C_i* a *C_{i+1}*.

Para el diseño del circuito multiplicador, se empleó el algoritmo Booth. Dicho algoritmo proporciona un procedimiento para multiplicar enteros binarios en representación de complemento a 2 con signo. Opera con base en que las series de números 0 en el multiplicador no requieren suma, solo corrimiento, y que una serie de dígitos 1 en el multiplicador de una ponderación de bit de 2^k a una ponderación 2^m puede tratarse como $2^{k+1} - 2^m$. Por ejemplo, el número binario 001110 (+14) tiene una serie de dígitos 1 de $2^3 + 2^2 + 2^1$ ($k = 3, m = 1$). El número puede representarse como $2^{k+1} - 2^m = 2^4 - 2^1 = 16 - 2 = 14$. Por lo tanto, la multiplicación $M \times 14$, donde *M* es el multiplicando y 14 el multiplicador, puede realizarse como $M \times 2^4 - M \times 2^1$. Como resultado, el producto puede obtenerse al ejecutar el corrimiento del multiplicando binario *M* cuatro veces a la izquierda y restar una vez *M* recorrido a la derecha.

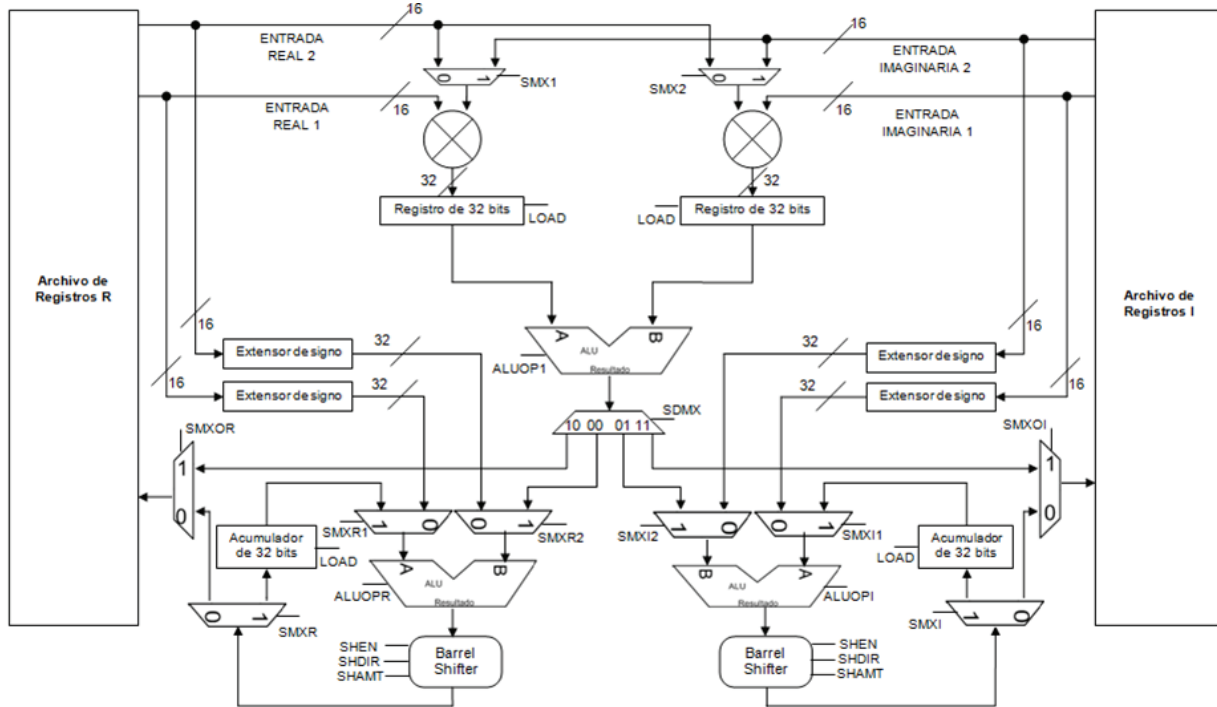


Figura 4. Diagrama a bloques de la unidad DSP

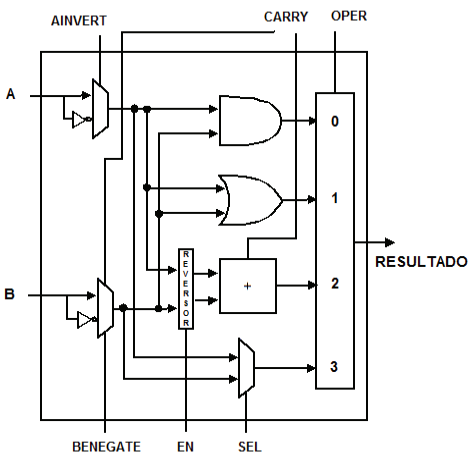


Figura 5. Diagrama a bloques de la ALU

Como en todos los esquemas de multiplicación, el algoritmo de *Booth* requiere un examen de los bits del multiplicador y ejecutar un corrimiento del producto parcial. Antes del corrimiento, puede sumarse el multiplicando al producto parcial, restarse o dejarlo sin cambio, de acuerdo con las siguientes reglas:

- El multiplicando se resta del producto parcial cuando se encuentra el primer 1 menos significativo en una serie de dígitos 1 en el multiplicador.

- El multiplicando se suma al producto parcial cuando se encuentra el primer 0 (siempre y cuando exista un 1 anterior) en una serie de dígitos 0 en el multiplicador.
- El producto parcial no cambia cuando el bit multiplicador es idéntico al bit multiplicador anterior.

El diagrama de flujo del algoritmo se puede apreciar en la Figura 6.

El diseño de los acumuladores de 32 bits surge de la necesidad de un acumulador de mayor longitud. Esto debido a que las operaciones de la unidad DSP involucran multiplicaciones entre números de 16 bits, que arrojan resultados de 32 bits, y las operaciones de acumulación requieren que la precisión en los registros sea mayor. El acceso a los 2 acumuladores de la unidad DSP se realiza mediante instrucciones de carga y almacenamiento (*Load* y *Storage*), que acceden a la parte alta (*ACCXH*) o baja (*ACCXL*) del acumulador, accediendo a solo una parte a la vez.

Debido a las instrucciones de corrimiento sobre registros y a la necesidad de hacer corrimientos sobre los acumuladores del *Core-DSP*, se diseñó un circuito de corrimientos lógicos de 32 bits. Para no agregar un bit más en el formato de instrucción fue que se propusieron dos instrucciones de corrimiento, para especificar la dirección del corrimiento.

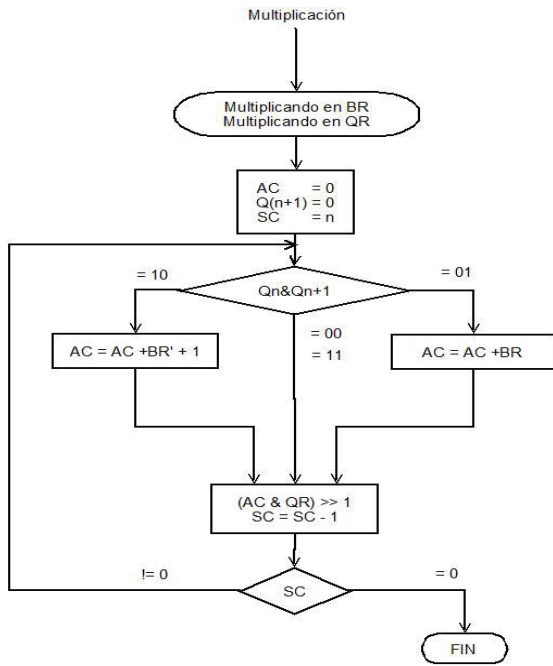


Figura 6. Diagrama de flujo del algoritmo de Booth

Para el diseño de la ruta de datos, durante la ejecución de las operaciones MAC, se realizó por separado para la parte real y la parte imaginaria. Esto se puede apreciar claramente en la Figura 4.

Finalmente el séptimo y octavo bloque, de la Figura 2, corresponden a la memoria de datos. La memoria de datos se encuentra dividida en 2 bloques de memoria de 64 k localidades y son denominadas memoria real y memoria imaginaria, para ser congruente con el diseño de la arquitectura.

La operación de la memoria de datos real dependerá de las instrucciones que se estén ejecutando, ya que actúa junto con la memoria de datos imaginaria para almacenar números complejos en caso de que así se requiera. Además de eso, también almacena valores en caso de que se trabaje solo con números reales y en su estructura encontramos mapeados 2 puertos y 2 registros de configuración, como son: REGEDO (*Registro de Estado*) y REGSUM (*Registro de Suma*).

La memoria de datos imaginaria almacena la parte imaginaria de los números enteros complejos, cuando se usan instrucciones del tipo ST.C o LD.C. Esta memoria también contiene mapeados los dos registros que apuntan al final e inicio de un buffer de datos, usados en la implantación del direccionamiento por buffer circular, así como otros 2 puertos. APINI (*Registro del Apuntador de Inicio de Buffer*) y APFIN (*Registro del Apuntador de fin de buffer*).

IMPLEMENTACIÓN Y SIMULACIÓN

La arquitectura se implementó y se probó realizando una suma y una multiplicación de números complejos. Los resultados de su síntesis se presentan en la Figura 7.

Primero se realizó la suma de números complejos: $(2 + 3i) + (6 + 8i) = 8 + 11i$, y se realizó la simulación, como se muestra en la Figura 8.

La segunda prueba fue una operación de multiplicación de números complejos: $(1+5i) * (2+16i) = -78 + 26i$, teniendo el resultado mostrado en la Figura 9. La rutina programada para la multiplicación de los números complejos fue:

RUTINA DE MULTIPLICACIÓN DE COMPLEJOS

```

LDR R4, #0x0000 --R4=0 APUNTA-
DOR AL BUFFER 1
LDR R5, #0x000A --R5=10 APUNTA-
DOR AL BUFFER 2
LDR R6, #0x0014 --R6=20 APUNTA-
DOR AL BUFFER RESULTADO
LDR R7, #0x0015 --R6=21 FIN DE BU-
FFER
    
```

```

SIGMUL: (5)
LD.C R2, [R4++] --CARGA UN COMPLEJO
DEL BUFFER 1
LD.C R3, [R5++] --CARGA UN COMPLEJO
DEL BUFFER 2
MUL.C R2, R3 --R1:R0=R2*R3 MULTIPLI-
CA DOS COMPLEJOS
ST.C R0, [R6++] --GUARDA LA PARTE BAJA
DEL RESULTADO
CMP R7, R6
BNE SIGMUL
CICLO: (11)
NOP
BRA CICLO
    
```

Una vez que se observó un correcto funcionamiento se procedió a implementar algoritmos empleados en otras arquitecturas y compararlos con los resultados de la arquitectura aquí propuesta.

COMPARACIÓN CON OTRAS ARQUITECTURAS

Se realizó una comparación con dos arquitecturas: la arquitectura diseñada en Guarneros (2006), llamada PPG y la arquitectura comercial DSPic, empleada en Angulo (2006). En dichas arquitecturas se programaron los mismos algoritmos y los resultados se compararon con los obtenidos por la arquitectura diseñada en este trabajo, previamente programada con los mismos algoritmos.

DSP Project Status			
Project File:	Arquitectura_DSP7prueba.xise	Parser Errors:	No Errors
Module Name:	DSP	Implementation State:	Programming File Generated
Target Device:	xc3s700a-4fg484	•Errors:	No Errors
Product Version:	ISE 14.3	•Warnings:	168 Warnings (0 new)
Design Goal:	Balanced	•Routing Results:	All Signals Completely Routed
Design Strategy:	Xilinx Default (unlocked)	•Timing Constraints:	All Constraints Met
Environment:	System Settings	•Final Timing Score:	0 (Timing Report)

Device Utilization Summary				
Logic Utilization	Used	Available	Utilization	Note(s)
Total Number Slice Registers	2,782	11,776	23%	
Number used as Flip Flops	2,780			
Number used as Latches	2			
Number of 4 input LUTs	6,139	11,776	52%	
Number of occupied Slices	4,302	5,888	73%	
Number of Slices containing only related logic	4,302	4,302	100%	
Number of Slices containing unrelated logic	0	4,302	0%	
Total Number of 4 input LUTs	6,188	11,776	52%	
Number used as logic	6,139			
Number used as a route-thru	49			
Number of bonded IOBs	13	372	3%	
Number of BUFGMUXs	2	24	8%	

Figura 7. Resultado del proceso de síntesis de la arquitectura

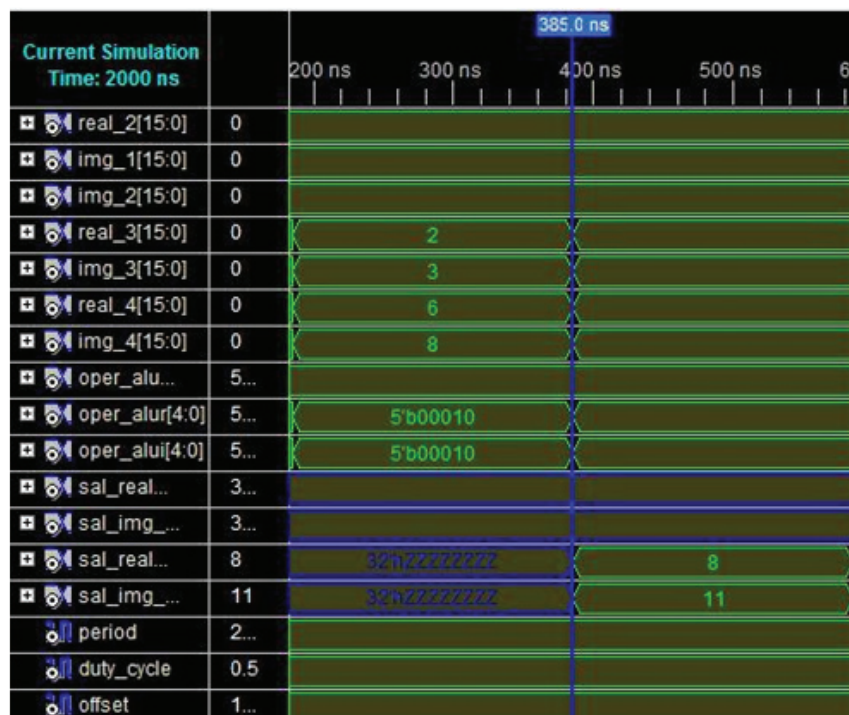


Figura 8. Simulación de la operación de suma de: $(2 + 3i) + (6 + 8i) = 8 + 11i$



Figura 9. Simulación de la operación de multiplicación de: $(1 + 5i) * (2 + 16i) = -78 + 26i$

Para la primera prueba, se empleó una función que cumple con la ecuación 2.

Los resultados se pueden observar en la Tabla 6. En donde la arquitectura propuesta requiere de menos ciclos de reloj para ejecutar una multiplicación compleja. Es decir, es 200% más rápido en relación con la arquitectura no optimizada (PPG) y 100% más rápido que la arquitectura comercial DSPic. Otra ventaja es que la arquitectura aquí desarrollada posee una arquitectura expandible y la arquitectura DSPic tiene una arquitectura cerrada.

Otro algoritmo que se comparó fue el cálculo de una mariposa, del algoritmo de la *Transformada Rápida de Fourier* (FFT), obteniendo los resultados de la tabla 7.

Para este caso el rendimiento sigue siendo el mismo, se reduce a la mitad el número de ciclos respecto al DSPic y es 2.5 veces más rápido que la arquitectura de propósito general (PPG).

DISCUSIÓN Y ANÁLISIS

Las comparaciones presentadas se hacen en función del número de ciclos del reloj, necesarios para un tipo de función específica, resulta clara la ventaja de realizar las multiplicaciones en paralelo aunque ello requiera de una mayor cantidad de recursos de *hardware*.

Se podrá comparar el trabajo aquí desarrollado, con otras arquitecturas, siempre que especifiquen los ciclos de reloj o tiempos de ejecución de funciones. En muchos trabajos solo comparan la arquitectura, respecto a otras arquitecturas, con los recursos utilizados de la FPGA. Sin embargo, los principales fabricantes de FPGAs, Xilinx y Altera, no guardan una similitud entre celdas lógicas y elementos lógicos por lo cual será necesario que la comparación se realice empleando el mismo FPGA aun cuando se trate del mismo fabricante,

Tabla 6. Ciclos de reloj para ejecutar la operación de la ecuación 2

	PPG (Guarneros, 2006)	DSPic (Angulo, 2006)	Arquitectura aquí propuesta
Operaciones	4 multiplicaciones	4 multiplicaciones	1 multiplicación acumulada de
Requeridas	2 sumas	acumuladas	complejos
Núm. Ciclos	6 ciclos	4 ciclos	2 ciclos

Tabla 7. Ciclos de reloj para ejecutar la Transformada Rápida de Fourier

	PPG (Guarneros, 2006)	DSPic (Angulo, 2006)	Arquitectura aquí propuesta
Operaciones	4 multiplicaciones	4 multiplicaciones	1 multiplicación única de complejos
Requeridas	6 sumas	acumuladas	2 sumas de complejos
Núm. Ciclos	10 ciclos	8 ciclos	4 ciclos

dato que algunos cuentan con diferentes tipos de FPGAs, los cuales pueden poseer elementos dedicados, como son las memorias de doble puerto, que otras FPGAs no tienen.

CONCLUSIONES

Se implementó el núcleo de una arquitectura para procesar números complejos. Se diseñó empleando el lenguaje de descripción de *hardware* VHDL, por lo que se puede implementar en cualquier tipo de FPGA, sin importar el fabricante. Para este caso se empleó la FPGA XC3S700A-4FG484, de Xilinx. Este dispositivo posee 13 mil celdas lógicas, y utilizó 52% de sus celdas y 23% de los bits de memoria que incorpora el mismo dispositivo. Es importante mencionar que la FPGA empleada es un dispositivo que posee pocos recursos, comparándola con la Spartan 6 (XC6SLX150T), que posee 147 mil celdas lógicas. Esto significa, que junto al procesador, aquí desarrollado, es posible implementar otra etapa para una aplicación específica que se requiera, creando así un sistema más complejo, comúnmente llamados SoPC. De esta manera disponemos de un recurso para construir sistemas de procesamiento digital de señales *ad hoc*, es decir un DSP de propósito específico sin depender de DSP's de uso general. Recordando la eficiencia demostrada del núcleo desarrollado en este trabajo en cuanto a los ciclos de reloj requeridos para cada operación.

Para este prototipo, el procesador trabaja a una frecuencia de reloj de 12 MHz, por lo que será necesario, en versiones futuras, segmentar la ruta de datos de la arquitectura y el multiplicador, poniendo una etapa de pipeline con la finalidad de aumentar la frecuencia de operación y por consiguiente el rendimiento del procesador. Otro punto a mejorar es la creación de un compilador para la traducción de las instrucciones al código máquina.

AGRADECIMIENTOS

Este trabajo se financió por el proyecto de investigación SIP: 20161025 y SIP:20170080.

REFERENCIAS

- Angulo-Usategui J.M. *dsPIC: diseño práctico de aplicaciones*, 1a ed., McGraw-Hill, 2006, pp. 3-9. ISBN: 8448151569, 9788448151560.
- Dick C. *Re-discovering signal processing: a configurable logic based approach*, en: Proc. Of Asilomar, Pacific Grove, CA, noviembre 2003, pp. 1370-1374.
- García V., Sosa J.C., Ortega S., Hernández R. Microprocesador RISC didáctico implementado sobre un FPGA. *Revista Digital Científica y Tecnológica e-Gnosis*, México, volumen 7, Enero 2010. ISSN: 1665-5745.
- Guarneros A. *Diseño de un prototipo de arquitectura para procesamiento de señales en una FPGA* (tesis de Licenciatura) Instituto Politécnico Nacional, ESCOM, 2006.
- Hernández A., Camacho, O., Huerta, J., Carvallo A. Design of a general purpose 8-bits RISC processor for computer architecture learning. *Computación y sistemas*, volumen 19 (número 2), 2015: 371-385. Doi: 10.13053/CyS-19-2-1941.
- Perez A., Berreteaga O., Ruiz A., Urkidi A., Perez J. Una metodología para el desarrollo de hardware y software embebido en sistemas críticos de seguridad. *Sistemas, cibernética e informática*, volumen 3 (número 2), 2006. ISSN: 1690-8627.
- Sosa J., García V., Hernández. Programación del algoritmo de Levinson-Durbin sobre un FPGA. *Revista Digital de las Tecnologías de la Información y las Comunicaciones (Telemática)*, volumen 6 (número 7), mayo 2009: 3-7. CUBA. ISSN: 1729-3804.
- Sosa J., Rodríguez R. García V., Hernández R. Real-time Optical-Flow Computation for Motion Estimation under Varying Illumination Conditions. *International Journal of Reconfigurable and Embedded Systems (IJRES)*, volumen 1 (número 1), marzo 2012: 25-36. ISSN: 2089-4864.
- Tessier R. y Burleson W. Reconfigurable computing for digital signal processing: a survey. *Journal of VLSI Signal Processing*, Kluwer Academic Publisher, volumen 28, 2001: 7-27, 2001.
- Wang G. y Tull M.P. Ozaydin. The efficient implementation of complex number arithmetic, en: Region 5 Conference: Annual Technical and Leadership Workshop (2004, Norman, Oklahoma, USA). IEEE Region 5 & IEEE Oklahoma City Section, 2004, pp. 113-117.

Suggested citation:**Chicago style citation**

Sosa-Savedra, Julio Cesar, Víctor Hugo García-Ortega, Encarnación Salinas-Hernández, Rubén Ortega-González, Rubén Hernández-Tovar. Procesador de números complejos de alta velocidad implementada en un FPGA. *Ingeniería Investigación y Tecnología*, XIX, 01 (2018): 77-88.

ISO 690 citation style

Sosa-Savedra J.C., García-Ortega V.H., Salinas-Hernández E., Ortega-González R., Hernández-Tovar R. Procesador de números complejos de alta velocidad implementada en un FPGA. *Ingeniería Investigación y Tecnología*, volumen XIX (número 1), enero-marzo 2018: 77-88.

ABOUT THE AUTHORS

Julio César Sosa-Savedra. Es ingeniero en electrónica (1997) por el ITLAC, Mich., obtuvo su título como M. en C. en ingeniería eléctrica (2000) por el CINVESTAV-IPN, México y el doctorado en ciencias en tecnología de la información, comunicaciones y computación en 2007, por la Universidad de Valencia, España. Es profesor titular de ESCOM-IPN de septiembre de 1997 a septiembre de 2015. Actualmente es profesor titular en el Centro de Investigación en Ciencia Aplicada y Tecnología Avanzada, Querétaro, México. Sus áreas de interés son: arquitectura de computadoras, procesamiento digital de señales e imágenes, redes de sensores y sistemas embebidos.

Víctor Hugo García-Ortega. Es ingeniero en sistemas computacionales egresado de la Escuela Superior de Cómputo del Instituto Politécnico Nacional (1999). Tiene la maestría en ingeniería de cómputo con especialidad en sistemas digitales por el Centro de Investigación en Computación del IPN (2006). Actualmente es profesor de carrera en la Escuela Superior de Cómputo del IPN, donde trabaja en el área de Arquitectura de Computadoras, Microprocesadores y Procesamiento Digital de Imágenes y Señales.

Encarnación Salinas-Hernández. Cursó la licenciatura en la ESFM del IPN en 1991. Obtuvo el grado de maestro en ciencias con la especialidad en Física, en 1995 y el grado de doctor en 2010, ambas en la sección de graduados de la ESFM. Realizó una estancia Posdoctoral en el Departamento de Física del CINVESTAV-IPN, actualmente es profesor-investigador en el Departamento de ciencias Básicas. Es miembro del SNI nivel I. Sus áreas de interés son: mecánica cuántica supersimétrica y las ecuaciones diferenciales ordinarias lineales y no lineales.

Rubén Ortega-González. Es ingeniero eléctrico (1999) y M. en C. en ingeniería en sistemas, por el Instituto Politécnico Nacional (IPN) México. Obtuvo el grado D.E.A. en ingeniería eléctrica, por la Universidad de Oviedo, España, en 2009. En 2015 recibió el grado de doctor en ciencias por la Universidad Politécnica de Valencia, Valencia, España. Actualmente es profesor titular de la Escuela Superior de Cómputo del IPN y miembro del SNI, nivel 1. Sus principales intereses son: modelado y control de convertidores de potencia aplicados a la generación distribuida de energía y el procesamiento digital de señales.

Rubén Hernández-Tovar. Es ingeniero en comunicaciones y electrónica por la ESIME del IPN. Doctor en ciencias por el ICIMAF, Cuba. Actualmente es profesor titular de la UPIITA-IPN. Sus áreas de interés son: análisis y procesamiento de señales en sistemas de comunicaciones y de potencia.